

Характеристики аппаратного спектра при различных расфокусировках пучков с $w_0 = 10$ мкм, $\lambda = 0,6328$ мкм, $\alpha = 12^\circ$

Вид расфокусировки	A	B	C	D
$\beta, \%$	0,4	-0,1	0,4	0,3
$\theta, \%$	7,0	6,9	7,0	7,0

Величина относительного уширения аппаратного спектра расфокусированной системы незначительно отличается от аналогичной величины сфокусированной системы, тогда как размер каждого из пучков в системе, расфокусированной на величину $R_0/2$, увеличен в $\sqrt{2}$. Отсюда следует, что фактор роста кривизны волновых фронтов приводит к компенсации возможного уменьшения ширины аппаратного спектра за счет увеличения размеров пучков. Коэффициенты асимметрии γ_1 и эксцесса γ_2 , рассчитанные для каждого из четырех рассмотренных случаев в пределах погрешности (0,01), оказались равными нулю. Поэтому форму аппаратного спектра практически можно считать гауссовой.

Полученные результаты и отработанные программы численных расчетов методических ошибок применимы при произвольном угле пересечения зондирующих пучков, что является существенным, так как позволяет анализировать не только однолинзовье, но и двухлинзовье оптические схемы, в частности схему лазерного доплеровского микроскопа [7].

ЛИТЕРАТУРА

- Кулеш В. П. Анализ оптической схемы ЛДИСа методом Фурье.— Тр. Центр. аэродинамич. ин-та, 1976, вып. 1750, с. 70—82.
- Durst F., Stevenson W. H. Influence of Gaussian Beam Properties on Laser Doppler Signals.— Appl. Opt., 1979, vol. 4, p. 516—524.
- Василиенко Ю. Г., Дубнищев Ю. Н., Журавель Ф. А. О пространственном разрешении и точности лазерных доплеровских измерителей скорости.— Опт. и спектр., 1976, т. 11, вып. 2, с. 293—300.
- Ринкевичюс Б. С., Смирнов В. И., Соколова Е. Л. Исследование интерференции гауссовых пучков.— Тр. МЭИ, 1980, вып. 465, с. 3—11.
- Джерард А., Берч Дж. М. Введение в матричную оптику.— М.: Мир, 1978.
- Ринкевичюс Б. С., Смирнов В. И., Фабрикант В. А. Аппаратная функция лазерного анемометра с дифференциальной оптической схемой.— Опт. и спектр., 1976, т. 40, вып. 5, с. 885—892.
- Ринкевичюс Б. С., Толкачев А. В., Суторшин В. Н., Чудов В. М. Лазерный доплеровский микроскоп.— Радиотехника и электроника, 1979, т. XXIV, № 3, с. 594—596.

Поступила в редакцию 13 января 1981 г.

УДК 532.574.7

П. Я. БЕЛОУСОВ, Ю. Н. ДУБНИЩЕВ, И. Г. ПАЛЬЧИКОВА
(Новосибирск)

ИЗМЕРЕНИЕ ПОЛЯ СКОРОСТИ ПОТОКОВ

Перспективность применения оптических методов в экспериментальной гидро- и аэrodинамике в настоящее время общепризнана. Измерение локальных скоростей потоков успешно выполняется методами лазерной доплеровской анемометрии. Получение информации о поле скорости час-

то представляет большую ценность, нежели локальные измерения. Однако известные методы полевых измерений отличаются сложностью и не являются удовлетворительными в плане практических приложений. В качестве примера можно указать на способ определения поля скорости с дискретной выборкой результатов по нескольким пространственно разнесенным точкам. Аппаратурная реализация методики в этом случае представляет собой многоканальный лазерный доплеровский измеритель скорости. Измерение поля средних скоростей можно осуществить последовательным подключением одноканального электронного процессора к оптическим каналам, число которых равно числу пространственных выборок. Измерение нестационарных полей в реальном масштабе времени с экспериментом требует создания процессора, число измерительных каналов которого равно числу оптических каналов. Сложность и стоимость такой системы весьма значительны.

Другой известный способ измерения поля скорости заключается в многократном экспонировании исследуемого сечения потока на фотоносителе с последующим анализом пространственно-частотного спектра [1]. Этот метод требует сложной обработки результатов (сравнимой по сложности с методом измерения по трекам рассеивающих частиц) и не позволяет осуществить измерение в реальном масштабе времени с экспериментом.

Весьма привлекательным представляется способ измерения, который позволял бы получать в реальном масштабе времени изображение исследуемой области таким образом, чтобы интенсивность светового сигнала в каждой точке изображения являлась известной функцией локальной скорости в соответствующей точке потока.

В настоящей работе показана возможность реализации такого метода определения поля скорости на основе применения оптического процессора (ОП) с когерентной оптической обратной связью (КООС).

Известно, что ОП с КООС используются для обработки информации, записанной на транспарантах [2, 3]. Рассмотрим возможное расширение функциональных свойств таких процессоров для применения в качестве оптического дискриминатора пространственного и временного распределений доплеровского сдвига частоты когерентного оптического сигнала.

Обобщенная блок-схема устройства показана на рис. 1, а. Здесь W_1 и W_4 — когерентные передаточные функции (КПФ) входного и выходного оптических звеньев; W_2 и W_3 — КПФ оптических звеньев в прямой ветви и ветви обратной связи соответственно.

Как известно, для линейной системы с КООС результирующая КПФ имеет вид

$$W_{23} = W_2 / (1 - W_2 W_3). \quad (1)$$

Для простоты примем, что импульсные отклики (ИО) прямой и обратной ветвей одномерны и пространственно инвариантны:

$$\begin{aligned} W_2(\Omega) &= \int_{-\infty}^{\infty} h_2(x_{21}) e^{-j\Omega x_{21}} dx_{21} = A_2(\Omega) e^{j\Phi_2(\Omega)}; \\ W_3(\Omega) &= \int_{-\infty}^{\infty} h_3(x_{21}) e^{-j\Omega x_{21}} dx_{21} = A_3(\Omega) e^{j\Phi_3(\Omega)}, \end{aligned} \quad (2)$$

где $x_{21} = x_2 - x_1$; Ω — пространственная частота; $K = 2\pi/\lambda$.

После подстановки (2) в (1) и простых преобразований получим

$$\begin{aligned} W_{23} &= A_2 e^{j\Phi_2(\Omega)} \{1 - A_2(\Omega) A_3(\Omega) e^{-j[\Phi_2(\Omega) + \Phi_3(\Omega)]}\} / [1 - A_2(\Omega) A_3(\Omega)]^2 \times \\ &\quad \times \{1 + (4\mathcal{F}^2/\pi^2) \sin^2 [(\Phi_2(\Omega) + \Phi_3(\Omega))/2]\}, \end{aligned} \quad (3)$$

$\mathcal{F} = \pi [A_2(\Omega) A_3(\Omega)]^{1/2} / [1 - A_2(\Omega) A_3(\Omega)].$

где

3*

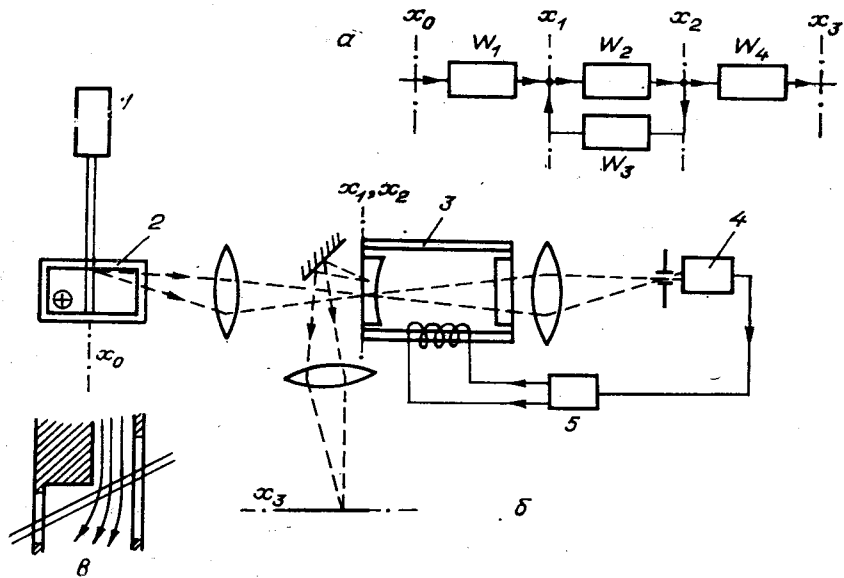


Рис. 1. Схема установки для визуализации поля скорости (б), эквивалентная схема оптического процессора с когерентной обратной связью (а) и сечение гидродинамического канала в плоскости освещдающего лазерного луча (с):

1 — лазер, 2 — гидродинамический канал (поперечное сечение), 3 — полуконфокальный интерферометр, 4 — фотоприемник, 5 — система привязки резонансной частоты интерферометра к частоте излучения лазера, x_3 — плоскость регистрации изображения.

Выберем входное согласующее звено с КПФ вида

$$W_1 = \alpha_1 \delta(\Omega + kx_0/F_1), \quad (4)$$

а выходное согласующее звено с ИО —

$$h(x_3, x_2) = \alpha_2 e^{-j(K/F_2)x_3}. \quad (5)$$

Здесь F_1 и F_2 — аппаратурные постоянные.

Определим ИО всей системы:

$$h(x_3, x_0) = \int_{-\infty}^{\infty} \int W_1 W_2 h(x_3, x_2) e^{j\Omega x_1} d\Omega dx_1. \quad (6)$$

После подстановки в (6) выражений (3), (4) и (5) получим

$$h(x_3, x_0) = \gamma A_2 e^{j\Phi_2} \{1 - A_2 A_3 e^{-j(\Phi_2 + \Phi_3)}\} \delta(x_0 + (F_1/F_2)x_3) / (1 - A_2 A_3)^2 \{1 + (4\mathcal{F}^2/\pi^2) \sin^2 [(\Phi_2 + \Phi_3)/2]\}, \quad (7)$$

где величины A_2 , A_3 , Φ_2 , Φ_3 , \mathcal{F} являются функциями переменной Kx_0/F_1 ; $\gamma = \text{const}$.

Пусть $(1/2)(\Phi_3 + \Phi_2) = m\pi + \varepsilon\pi$, где $m = 0, 1, 2, \dots$. Тогда в резонансной области

$$h(x_3, x_0) = H e^{j\Psi} \delta(x_0 + F_1 x_3/F_2), \quad (8)$$

$$H = A_2 / (1 + 4\mathcal{F}^2 \varepsilon^2)^{1/2}, \quad \Psi = \Phi_2 - \arctg(2\mathcal{F}\varepsilon).$$

Так как $K = 2\pi f/c = (2\pi f_0/c)(1 + \Delta f/f_0)$, то $\varepsilon = \beta \Delta f/f_0$ ($\beta = (1/2) \times [\Phi_2 + \Phi_3]$), f — частота оптического сигнала, f_0 — резонансная частота ОПИ. Следовательно, модуль ИО, описываемого выражением (8), является резонансной функцией частоты светового сигнала f .

Из (8) получим выражение для когерентного ИО системы

$$|H|^2 = (|A_2|^2 / (1 + 4\mathcal{F}^2 \varepsilon^2)) \delta(x_0 + F_1 x_3/F_2). \quad (9)$$

Разложим некогерентный ИО в окрестности точки перегиба на склоне резонансной кривой

$$|H|^2 = \{|H(x_3, x_0, f_n^0)|^2 + |H(x_3, x_0, f_n^0)|^2|'_{\Delta f}(f - f_n^0)\}, \quad (10)$$

где f_n^0 определяется из условия $|H(x_3, x_0, \Delta f)|^2|''_{\Delta f} = 0$.

Из (10) следует, что часть склона резонансной кривой может служить в качестве квазилинейной дискриминационной частотной кривой, если рабочая точка выбрана вблизи точки перегиба.

Пусть оптический сигнал во входной плоскости задан функцией $U[f(x_0, t)] = B \exp \left[j \int_0^t f(x_0, t') dt' \right]$. Тогда распределение интенсивности в выходной плоскости имеет вид

$$|U_{\text{вых}}[f(x_3, t)]|^2 = \left| \int_{-\infty}^{\infty} U[f(x_0, t)] h(x_3, x_0) dx_0 \right|^2. \quad (11)$$

Здесь $h(x_3, x_0)$ определяется выражением (8). Следовательно, распределение интенсивности оптического сигнала в выходной плоскости соответствует пространственному распределению частоты оптического сигнала во входной плоскости. Если изменение частоты входного сигнала обусловлено доплеровским сдвигом частоты при рассеянии на движущихся примесных частицах в потоке, распределение интенсивности светового сигнала в выходной плоскости соответствует полю скорости в исследуемом сечении потока. При работе на линейном участке дискриминационной кривой интенсивность светового сигнала в каждой точке изображения исследуемой области потока является известной линейной функцией (10) локальной скорости.

В работе [4] приведено описание измерителя локальной скорости с квазилинейным оптическим частотным дискриминатором доплеровского сдвига частоты. Визуализация быстрых изменений поля скорости требует введения в поток калиброванных примесных частиц одинакового размера и рассеивающей способности. Поле средних скоростей с достаточно большим временем экспозиции можно визуализировать на естественных примесных частицах в потоке. Размеры рассеивателей должны быть таковы, чтобы движение частицы с необходимой точностью соответствовало локальному движению среды в потоке.

Оптический процессор с КООС для измерения поля скорости может быть реализован в виде многолучевого интерферометра. Например, для конфокального интерферометра с квадратным размером апертуры зеркала $2a$ импульсный отклик, описываемый выражением (8), принимает вид

$$h(x_3, x_0) = \frac{4\tau^2 a^2 K^2}{\lambda F_2} \frac{e^{j(K/2L)(x_0^2 + y_0^2)}}{1 - r^4 e^{j4KL}} \operatorname{sinc} \left[\frac{aK}{\pi L} \left(x_0 + \frac{F_1}{F_2} x_3 \right) \right] \times \\ \times \operatorname{sinc} \left[\frac{aK}{\pi L} \left(y_0 + \frac{F_1}{F_2} y_3 \right) \right], \quad (12)$$

где τ^2, r^2 — соответственно коэффициенты пропускания и отражения зеркал, L — длина интерферометра.

На рис. 1, б показана схема измерения поля скорости в потоке жидкости с применением ОП с КООС на основе полуконфокального интерферометра. Измерения проводились на вертикальном гидродинамическом канале. Геометрия исследуемой области представлена на рис. 1, в. Изучалось поле скорости в течении воды за уступом. На рис. 2 показано изображение исследуемого сечения на выходе измерительного устройства в плоскости (x_3, y_3) . Распределение освещенности в изображении сечения потока соответствует распределению скорости по сечению. Виден перепад скорости в зоне за уступом, соответствующий величине $\sim 1,5$ м/с (разность доплеровских сдвигов частоты 3 МГц). Длина пути луча в канале

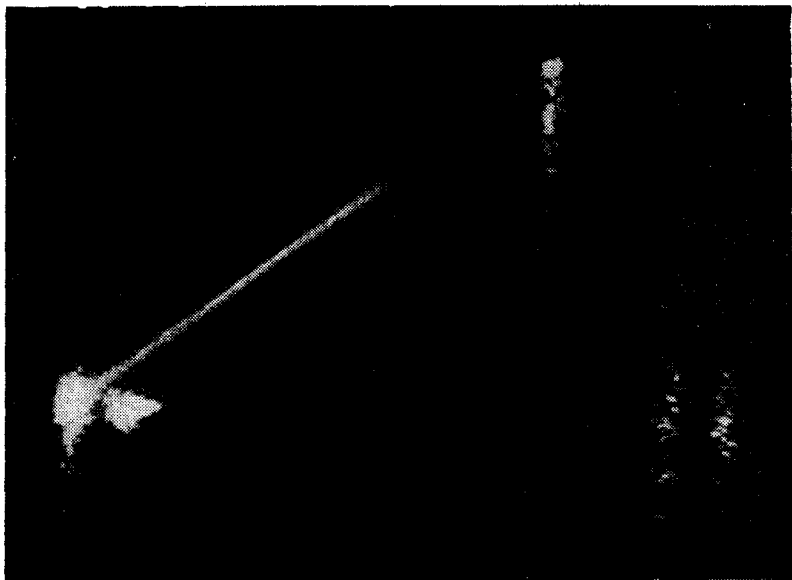


Рис. 2. Визуализированное поле скорости потока в области, освещенной лазерным пучком и расположенной непосредственно за уступом. Ширина канала 10 мм, высота уступа ~7 мм. Меньшая освещенность соответствует большей величине скорости.

12 мм. Параметры полуконфокального интерферометра: $L = 1$ м, диаметр зеркал 30 мм, коэффициент отражения сферического зеркала $r_1^2 = 0,9$, коэффициент отражения плоского зеркала $r_2^2 = 0,98$, $\lambda = 0,63$ мкм, мощность лазера 13 мВт в основной моде. Дисперсионный интервал полуконфокального интерферометра выбирается кратным частотному интервалу между продольными модами излучения лазера. В качестве дискриминационной кривой был выбран склон резонансной функции $|h(x_3, y_3; x_0, y_0)|^2$. Время экспозиции 1 мин.

ЛИТЕРАТУРА

1. Бакрунов А. О. и др. Голографический метод определения поля скоростей дисперсной фазы двухфазного потока.— Изв. АН СССР. Механика жидкости и газа, 1980, № 1.
2. Lee S. H. Recent Developments in Optical Information Processing Using Nonlinearity and Feedback.— In: Optical Information Processing. N. Y.: Plenum Press, 1978, vol. 2, p. 171.
3. Kotljar P. E., Nezhvenko E. S., Spektor B. I., Feldbush V. I. Optical Processing in Feedback Systems.— In: Optical Information Processing. N. Y.: Plenum Press, 1978, vol. 2, p. 155.
4. Belousov P. Ya., Dubnitshev Yu. N. The Application of an Optical Doppler Frequency Discriminator in a Laser Velocimeter.— Optics and Laser Technology, 1977, vol. 5, p. 229.

Поступила в редакцию 5 января 1981 г.

УДК 532.574.7

А. П. АЛХИМОВ, В. М. БОЙКО, А. Н. ПАПЫРИН
(Новосибирск)

РАЗВИТИЕ ЛАЗЕРНО-ДОПЛЕРОВСКИХ И СТРОБОСКОПИЧЕСКИХ АНЕМОМЕТРОВ ДЛЯ ИССЛЕДОВАНИЯ БЫСТРОПРОТЕКАЮЩИХ ПРОЦЕССОВ

1. Среди лазерно-доплеровских измерителей скорости с прямым спектральным анализом доплеровского сдвига частоты наибольшее распространение к настоящему времени получили схемы ЛДИС, основанные на использовании многолучевых интерферометров с переменной во вре-